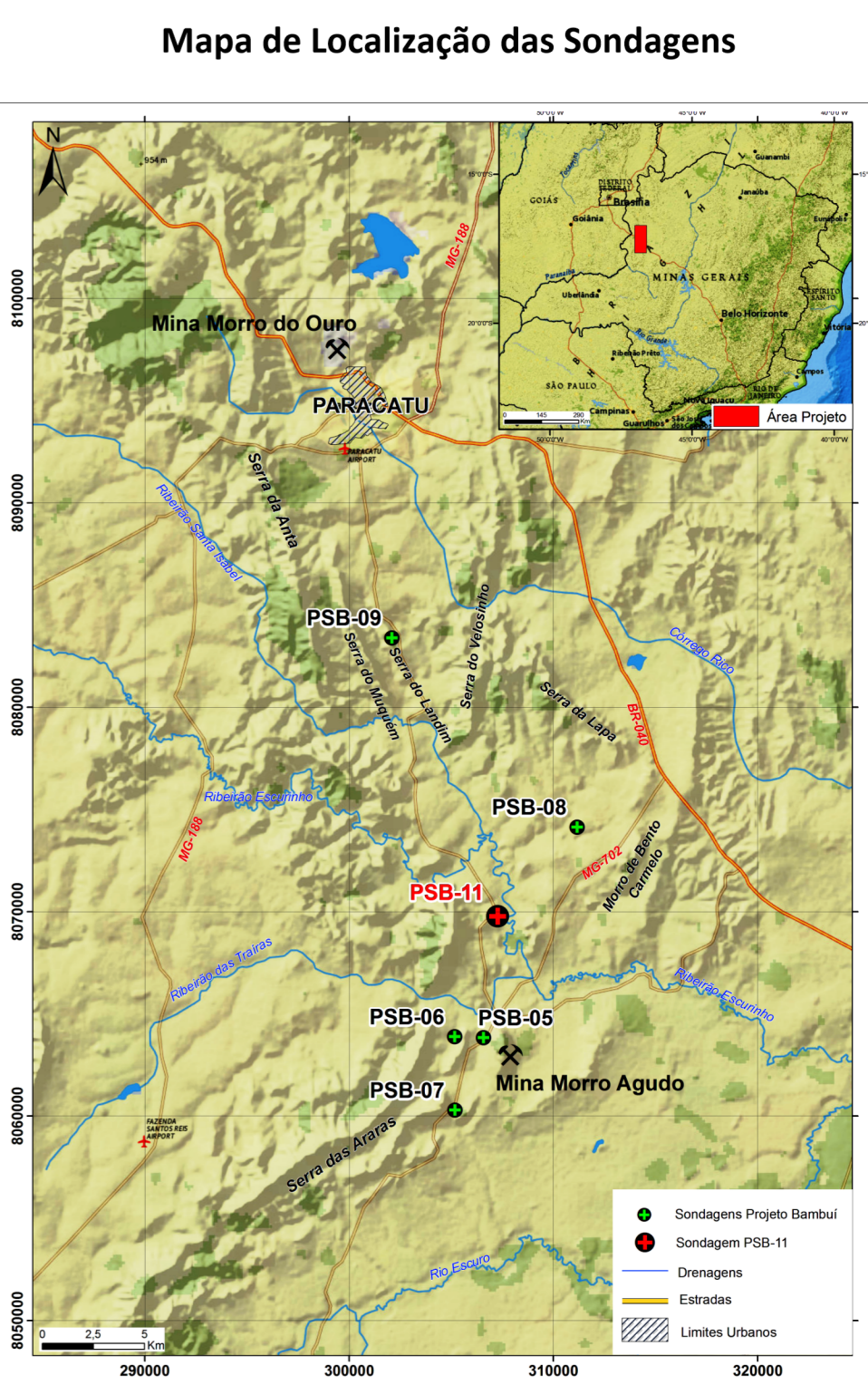
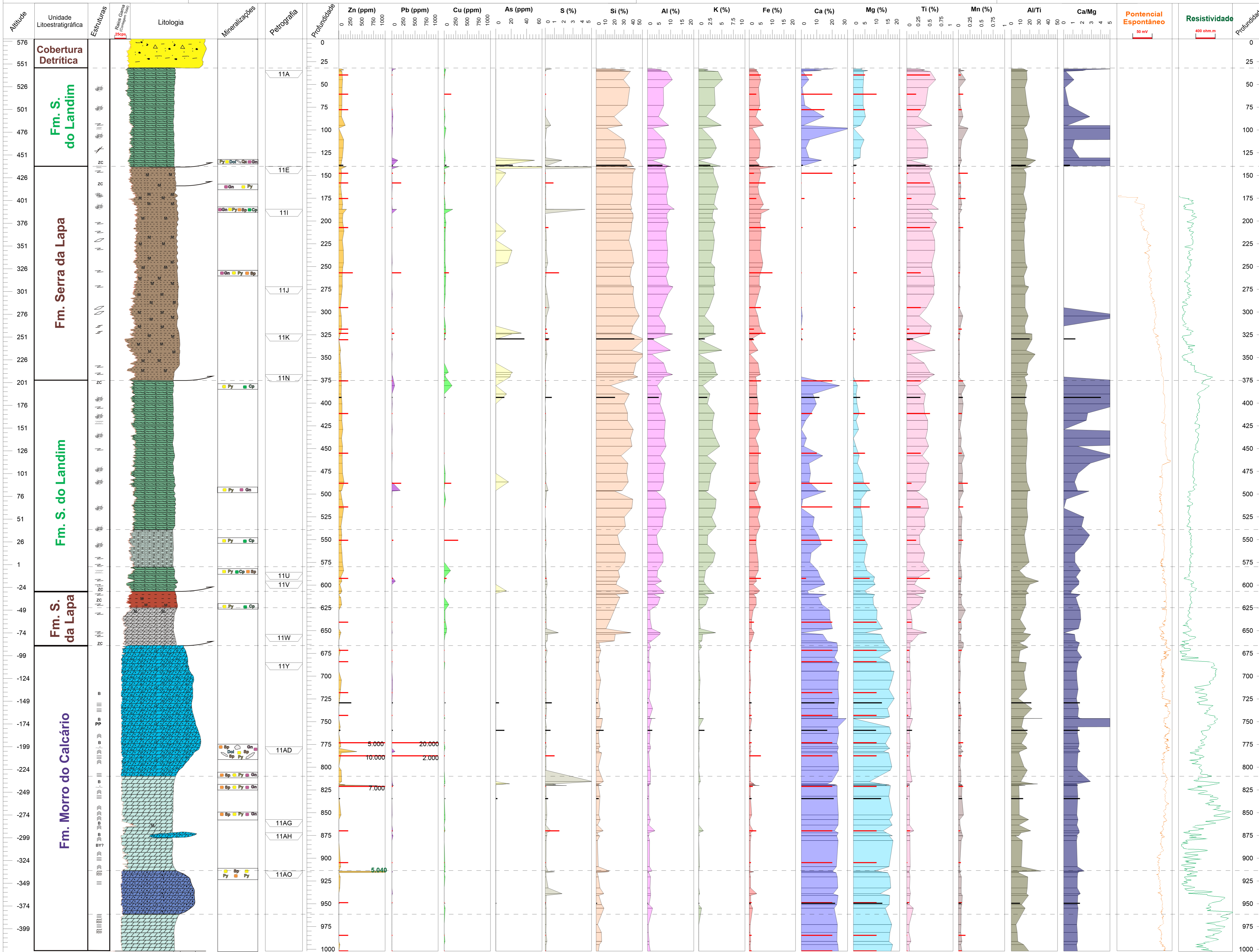


# Perfil Composto PSB-11

Esse Perfil Composto é um produto da análise e redescrição dos testemunhos estratigráficos do Projeto Sondagem Bambuí (Brandalise *et al.*, 1980).

Município: Paracatu - MG  
Coordenadas: 307258 E - 8069772 N  
Altitude: 578,50 m  
Inclinação do furo: vertical  
Profundidade final: 1002,50 m  
Escala revisão: 1:2000



**Nota Explicativa**

O Perfil Composto PSB-11 apresenta parte dos trabalhos do Projeto ARIM - Paracatu-Unaí em 2015/2016, executados pelo Serviço Geológico do Brasil - CPRM. O trabalho consistiu na revisão, redescrição e análises dos testemunhos estratigráficos (PSB-05, PSB-06, PSB-07, PSB-08, PSB-09 e PSB-11), referentes ao Projeto Sondagem Bambuí (Brandalise *et al.*, 1980). Os testemunhos estudados estão atualmente armazenados na Litoteca da CPRM (LAMIN-Caeté) na cidade de Caeté-MG.

O estudo teve como objetivo a descrição dos litotipos presentes, feições sedimentares e deformacionais, e identificação e caracterização de mineralizações de metais base presentes (Zn, Pb e Cu). Para isso, foram utilizadas, como base do trabalho, todas as informações disponíveis nos trabalhos de Brandalise *et al.* (1980) (eg. Perfilagem geofísica, descrição petrográfica e análises geoquímicas).

Para auxiliar o trabalho de descrição foi realizada uma perfilagem geoquímica dos testemunhos com aparelho de Fluorescência de Raio-X Portátil (FRXp) DeltaX Olympus. A perfilagem geoquímica foi realizada com medidas pontuais no próprio testemunho, com espaçamento de aproximadamente 10m ou em quebras litológicas significativas, buscando sempre analisar uma porção representativa do intervalo litológico ou da mineralização. O modo de análise do equipamento de FRXp foi o *Mining Plus* com o tempo de 120 segundos de análise para cada amostra. Esses dados foram interpolados com o intuito de destacar as variações químicas existentes.

O perfil composto está na escala 1:2.000 e é constituído por: coluna estratigráfica, perfilagem geoquímica, perfilagem geofísica (Raios Gama, Resistência e Potencial Espontâneo), mineralizações existentes, estruturas (primárias e secundárias), e proposta de correlação litostratigráfica com a coluna estratigráfica proposta por Dardenne (2000).

**Referência Bibliográfica**

Brandalise L.A., Pimentel G.B., Steiner H.P., Soares J., Mendes J.R., Queiroz N.F., Lima O.M., Pádua W. de. 1980. Projeto Sondagem Bambuí em Minas Gerais: Relatório Final. Belo Horizonte, DNP/CPRM, v.1-5.

Dardenne M.A. 2000. The Brasília fold belt. In: U.G. Cordani, E. G. Milani, A. Thomaz-Filho e D.A. Campos (eds.), *tectonic evolution of South America*, p. 231-263.

**Autores**

Execução: Paulo Henrique Amorim Dias e Marcus Paulo Sotero.  
Colaboradores: Marcelo de Souza Marinho, Caio Alencar de Matos, Francisco Teixeira Vilela, Jonathan Nereu Lisboa, Jhonny Nonato da Silva, Carlos Torres, Ramon Darwin Araújo, Mauricio Vieira Rios, Rosângela Bastos Souza e Elizabete Kadete.

Supervisão e Coordenação Técnica (SUREG-BH): Márcio Antônio Silva e Marcelo de Souza Marinho.

Revisão Final (DIGECO): Evandro Luiz Klein e Leandro Duarte Campos.

**Citação Bibliográfica**

DIAS, Paulo Henrique Amorim & SOTERO, Marcus Paulo, 2017. Perfil Composto PSB-11. Escala 1:2.000. Projeto Paracatu-Unaí (ARIM-Áreas de Relevante Interesse Mineral): Belo Horizonte Serviço Geológico do Brasil - CPRM.

<p><b>Estruturas Primárias</b></p> <ul style="list-style-type: none"> <li>Estromatólitos tipo "conopositor"</li> <li>Estromatólitos colonares</li> <li>Fragmentos de estromatólitos</li> <li>Laminações irregulares</li> <li>Estalotitos</li> <li>Laminação</li> </ul>	<p><b>Estruturas Secundárias</b></p> <ul style="list-style-type: none"> <li>Boudin de quartzo fatiçado</li> <li>Falha entre boudins</li> <li>Boudin fatiçado tipo dominó</li> <li>Minerais rotacionados com sombras de pressão</li> <li>Dobras em caixa e Kink bands</li> <li>Dobras</li> <li>Crenulação</li> <li>Dobras inclinadas/recumbentes</li> <li>Foliação SC</li> <li>Dobras rompidas/transição</li> <li>Dobras isoclinais</li> <li>Boudins</li> </ul>	<p><b>Litologias</b></p> <ul style="list-style-type: none"> <li>Solo</li> <li>Ardósia</li> <li>Ardósia carbonática</li> <li>Brecha dolarenítica</li> <li>Dolarenito</li> <li>Dolarenito conglomerático</li> <li>Dolomito argiloso</li> <li>Dolomito laminado</li> <li>Dolossiltito</li> <li>Filito carbonático</li> <li>Filito carbonático clorítico</li> <li>Ritmito arenoso</li> </ul>	<p><b>Mineralizações</b></p> <ul style="list-style-type: none"> <li>Planos com filmes de malaquita</li> <li>Cristais dispersos ou agregados</li> <li>Disseminados na matriz</li> <li>Bolsões ou Filões</li> <li>Dol Dolomita Branca</li> <li>Quartz</li> <li>Galenita</li> <li>Pirita</li> <li>Esferalita</li> <li>Catopilita</li> </ul>	<p><b>Análises Químicas</b></p> <ul style="list-style-type: none"> <li>Teores obtidos por Fluorescência de Raio-X portátil (2015 e 2016)</li> <li>Teores obtidos por Absorção Atômica (Brandalise <i>et al.</i>, 1980)</li> <li>Teores obtidos por ICP-OES e XRF (2015 e 2016)</li> </ul>
--	--	--	--	---